

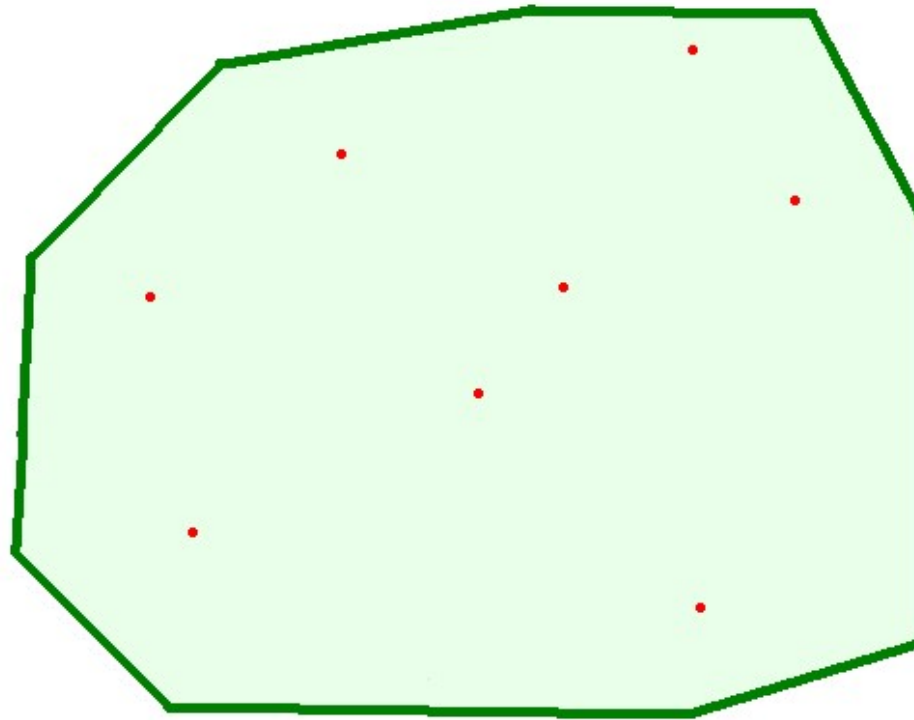
Voronoi-Diagramme und Delaunay-Triangulation

Voronoi-Diagramm

Problembeispiele

Voronoi-Diagramm

Beispiel Brandwächter im Wald



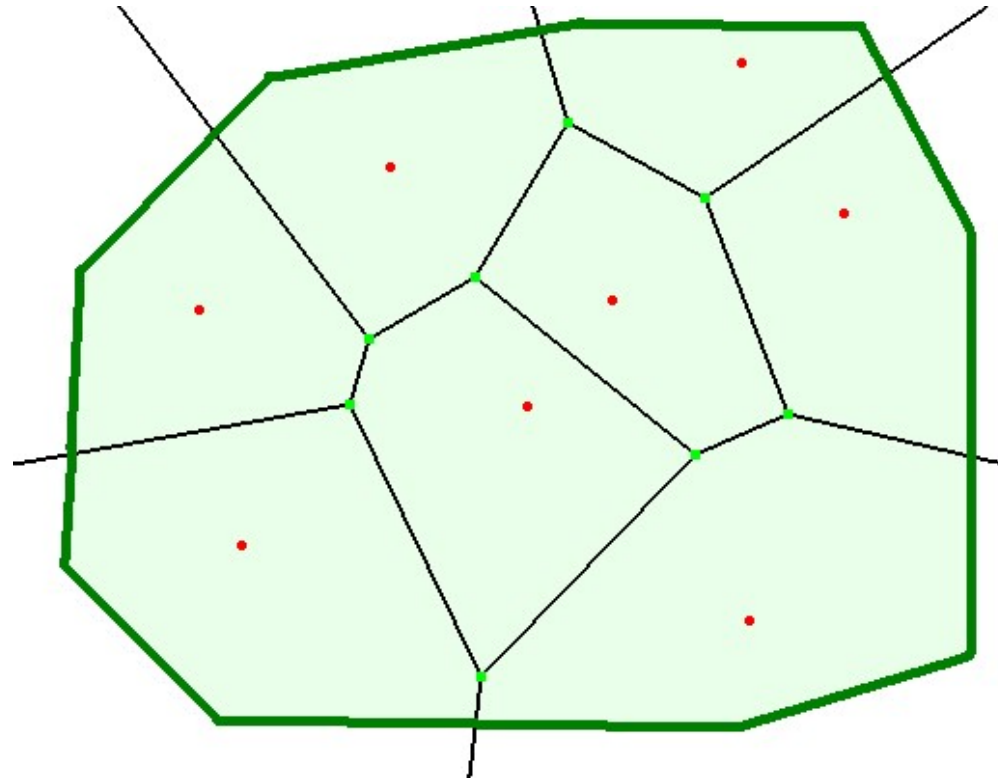
Grüne Fläche: Wald

Rote Punkte: Brandwachtürme

Frage: Welche Fläche muss jeder Brandwachturm überwachen?

Voronoi-Diagramm

Beispiel Brandwächter im Wald



Antwort: Jeder Brandwächter überwacht die Bäume, die näher zu seinem Turm sind (Voronoi-Regionen), als zu jedem anderen.

Das „Voronoi-Diagramm“ zeichnet die Linien zwischen den Gebieten
VL Computational Geometry
Prof. M. Fischer, HS München

Voronoi-Diagramm

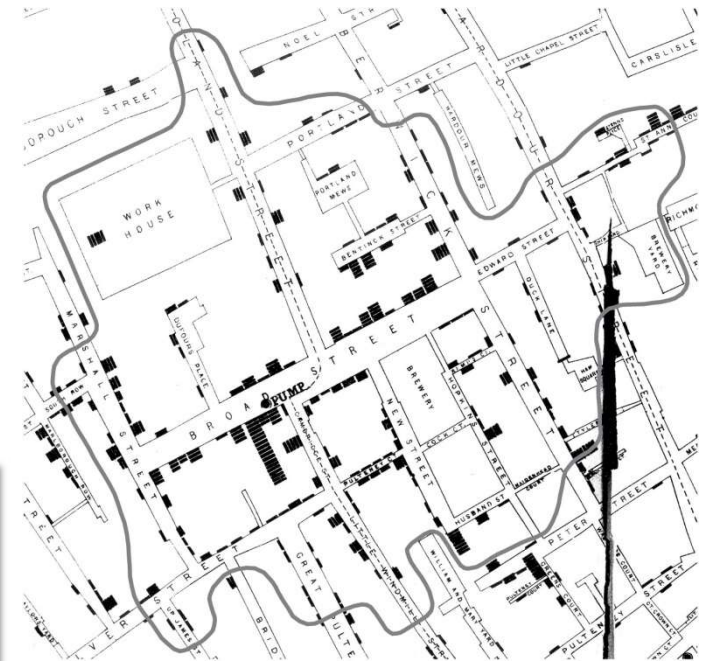
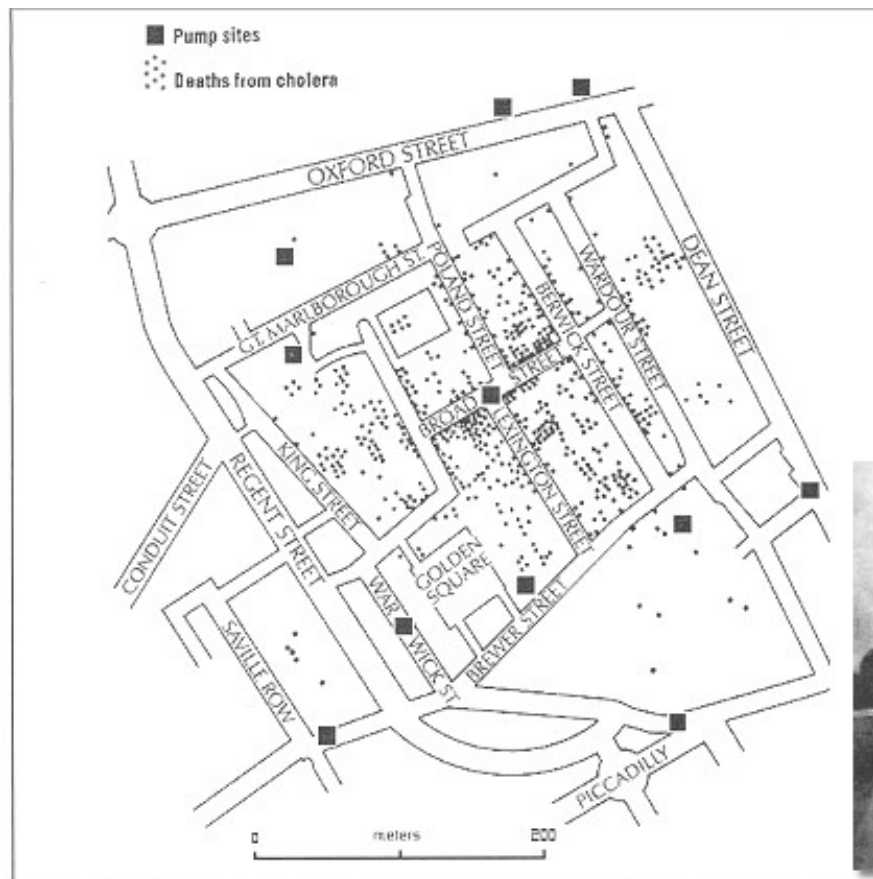
Weitere Beispiele

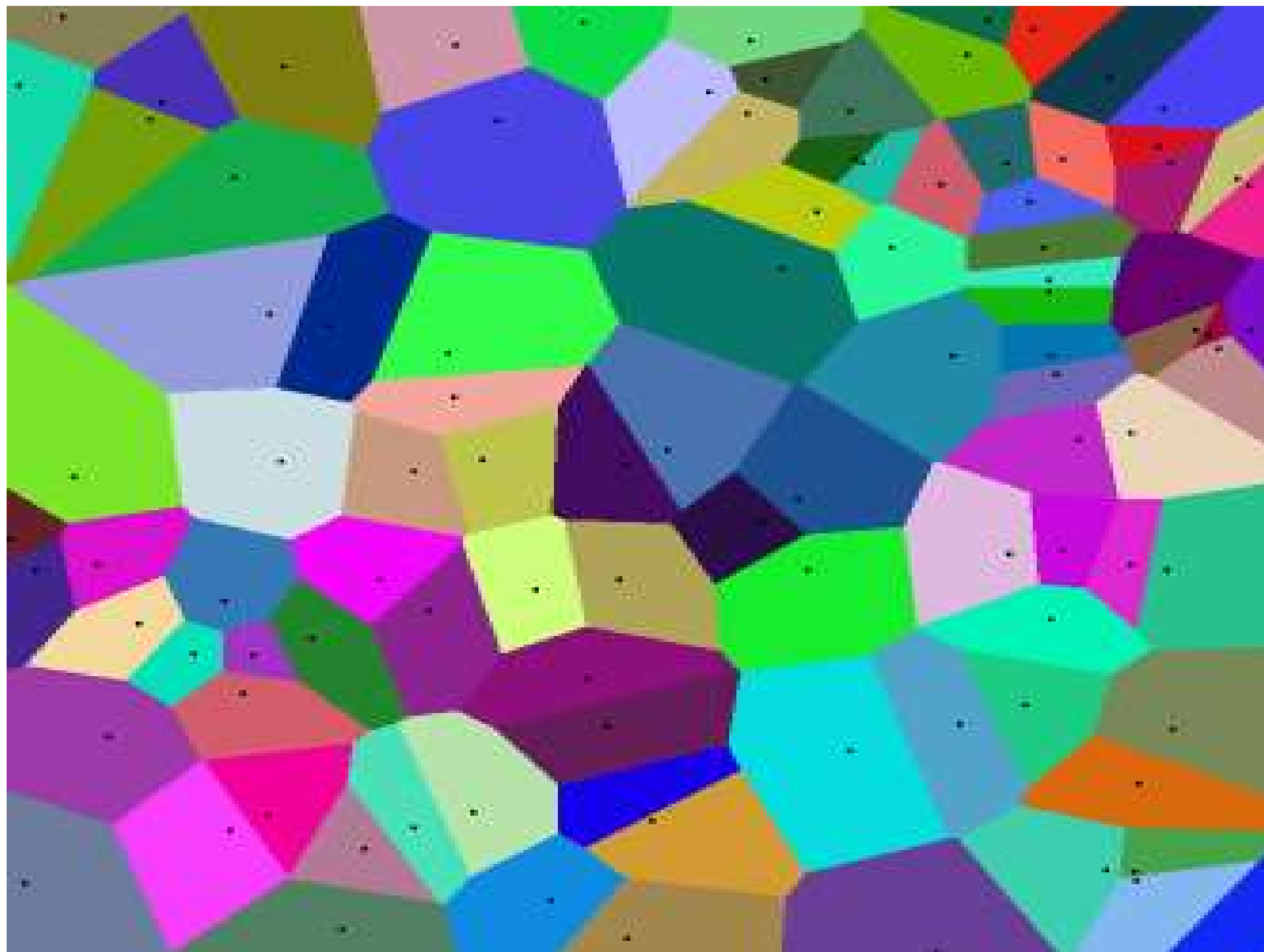
- Nächstgelegenes, öffentliches Telefon (akademischer Klassiker ;-)
- Positionierung von Funkmasten
- Bahnplanung in Hindernislandschaft

Voronoi-Diagramm

Weitere Beispiele

- Erste Anwendung: 1855, Choleraepidemie London, John Snow





Voronoi-Diagramm

Definition:

gegeben: n Punkte $P = \{p_1 \dots p_n\}$

gesucht: Regionen $N_1 \dots N_n$. (Einzugsbereiche)

$$N_i = \{p \in \mathbb{R}^2 \mid d(p, p_i) \leq d(p, p_j) \ \forall j\}$$

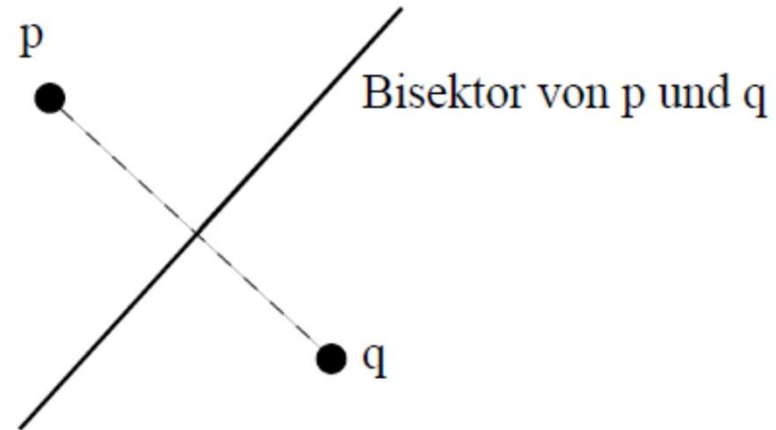
Voronoi-Diagramm $VD(P)$ einer Punktmenge P :

Menge der Punkte, die zu mindestens
zwei Einzugsbereichen gehören

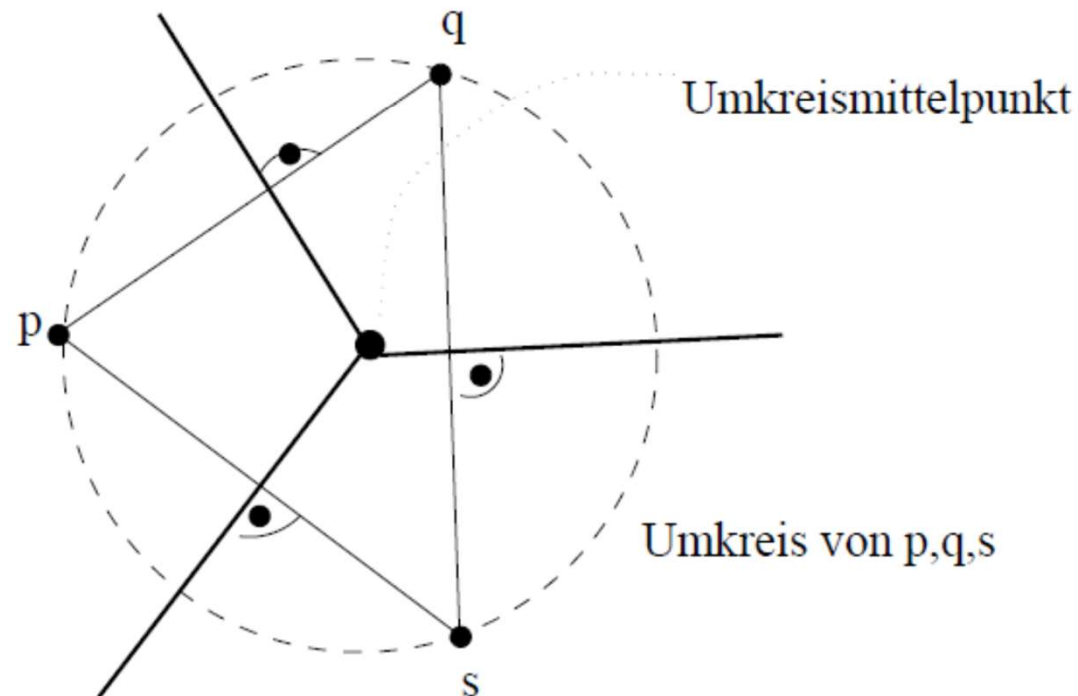
Voronoi-Diagramm

Beispiel:

$n=2$:



$n=3$:

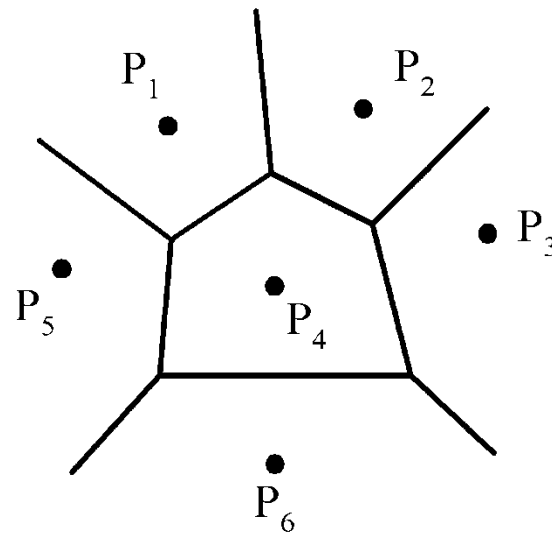


Voronoi-Diagramm

Voronoi-Diagramm einer endlichen Punktmenge in 2D:

Graph aus Ecken und Kanten

Kanten sind Strecken oder Halbgeraden



Algorithmen: später...

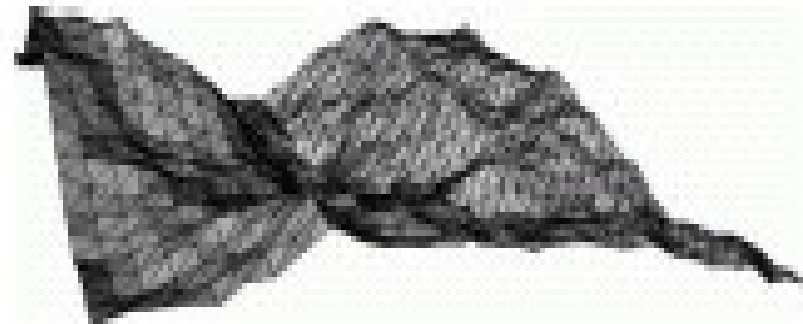
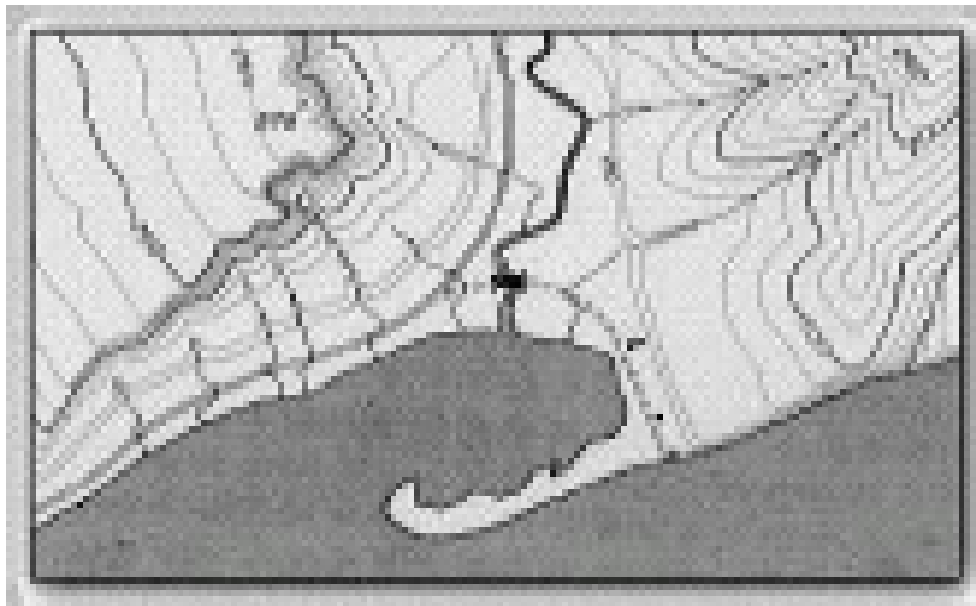
Delaunay-Triangulierung

Standard-Werkzeug in Computergrafik, 3D-Modellierung,...

Terrain-Visualisierung

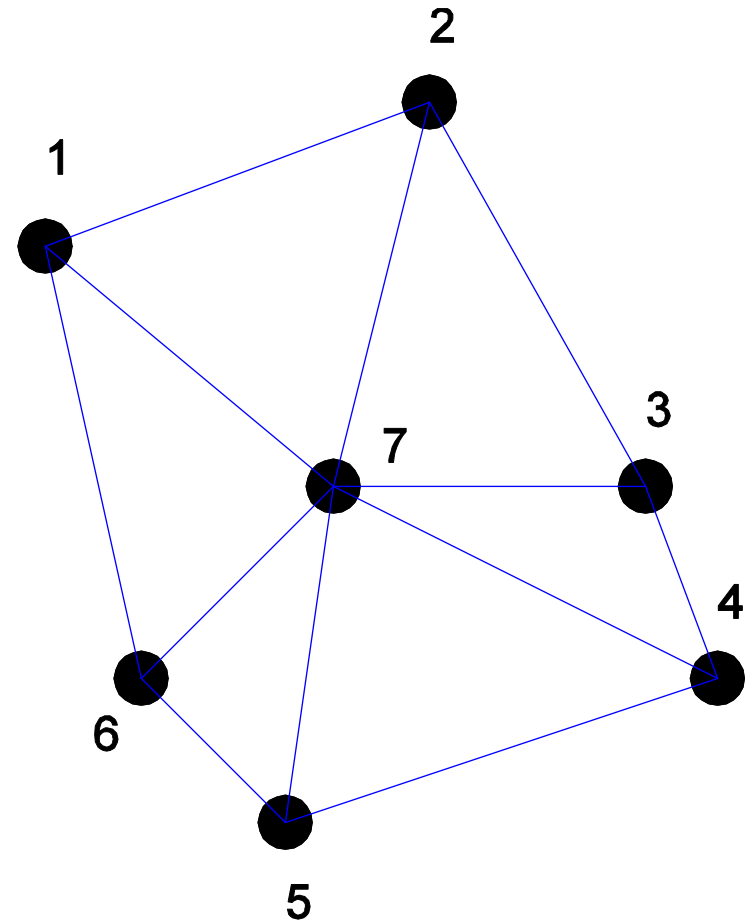
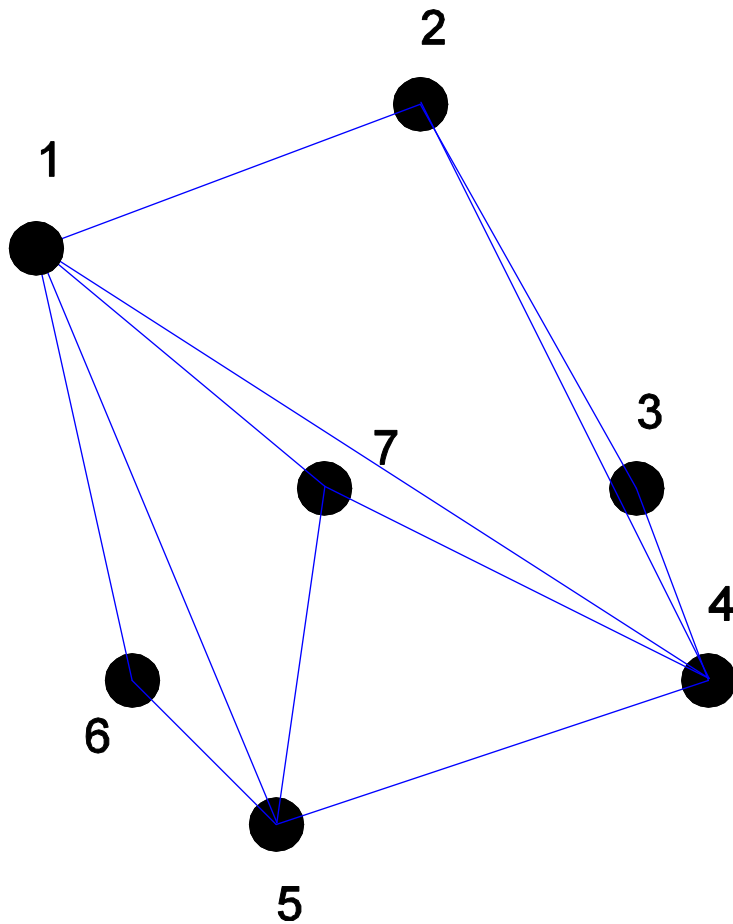
Umwandlung von Karten in 3D (bzw. 2.5D)

- Erfordern gute Triangulierungen von Punktmengen



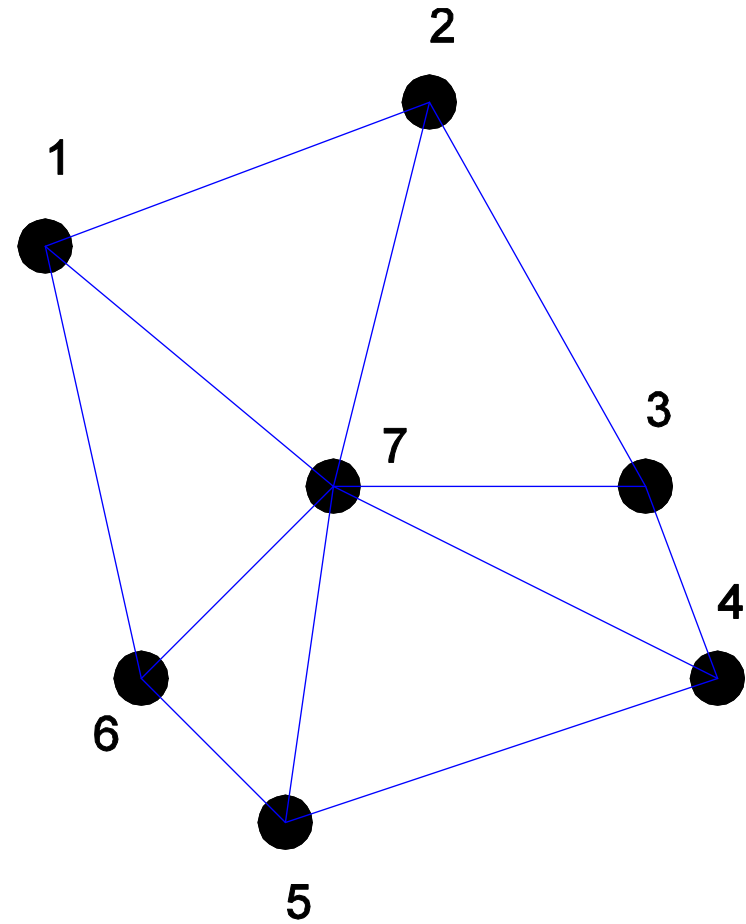
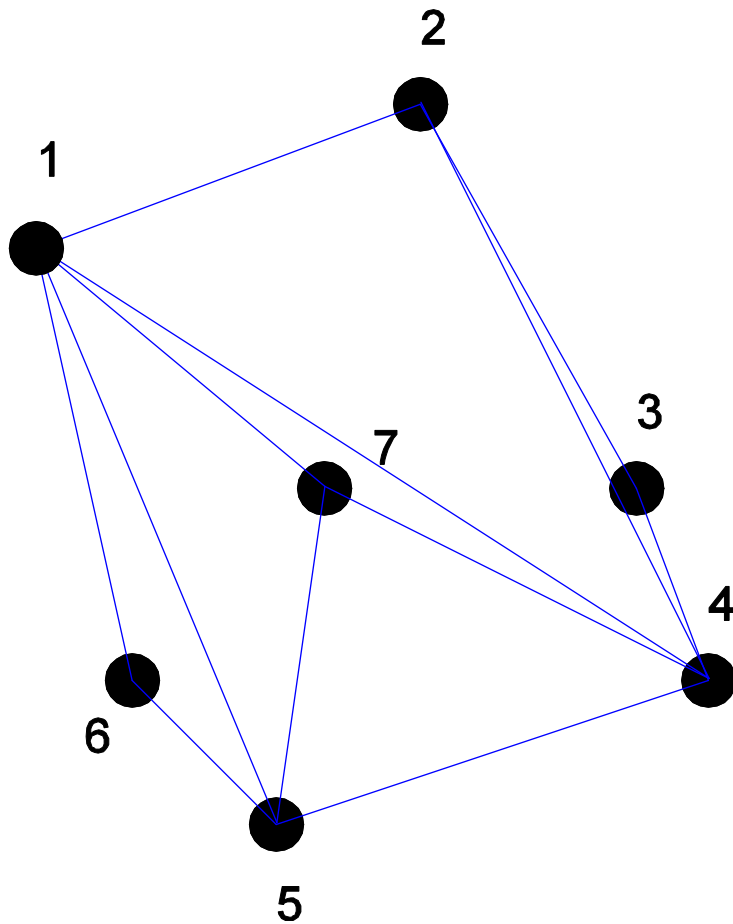
Delaunay-Triangulierung

Problem: Finden einer „guten“ Triangulierung



Delaunay-Triangulierung

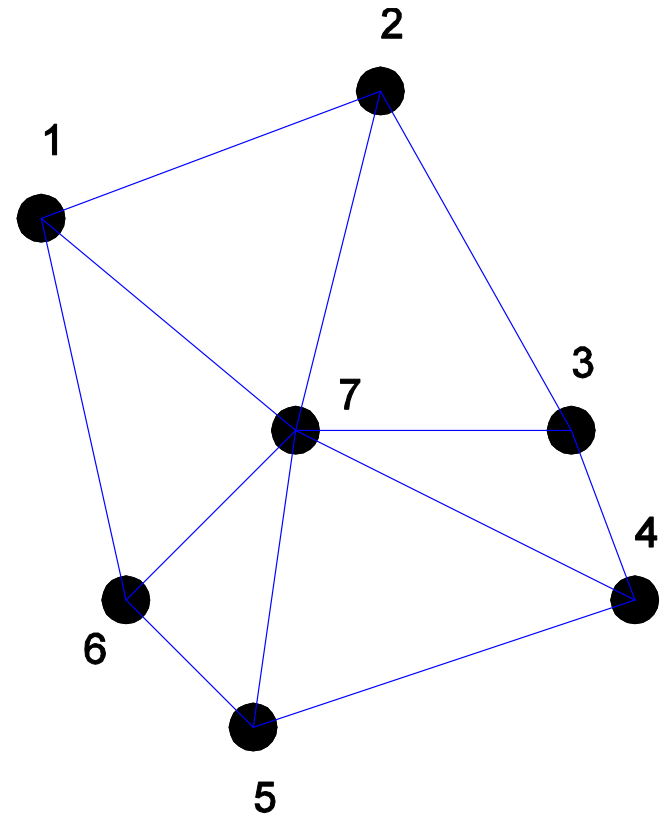
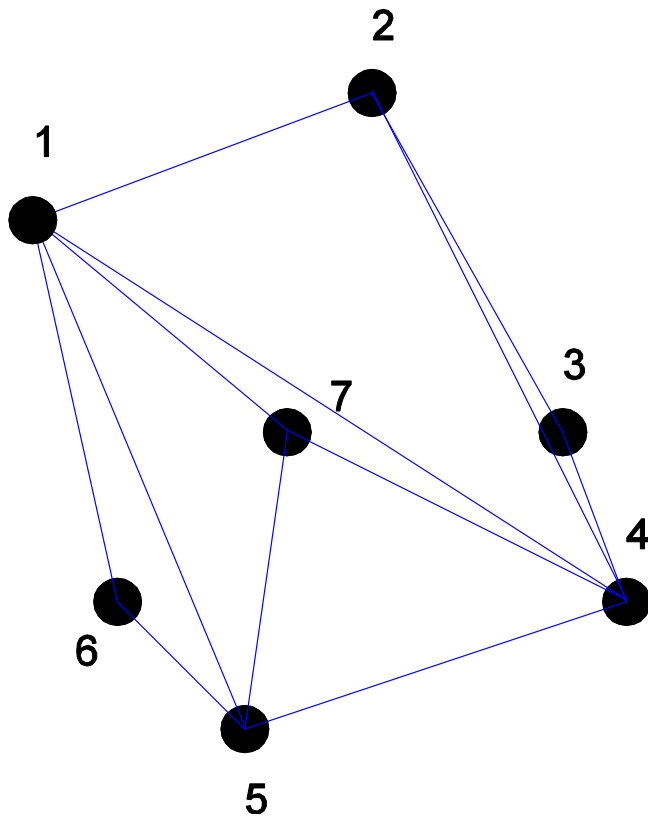
Problem: Was ist gut???



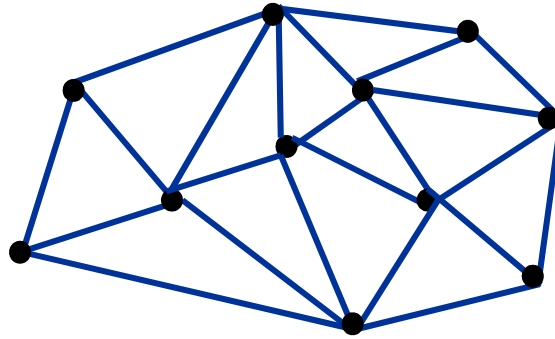
Delaunay-Triangulierung

Problem: Was ist gut???

- Keine „schmalen, spitzen“ Dreiecke
- Dreiecke mit maximalen Innenwinkeln



Delaunay-Triangulierung



Winkelvektor:

Sei $T(P)$ eine Triangulierung von P (Menge mit n Punkten).

Annahme: $T(P)$ hat m Dreiecke.

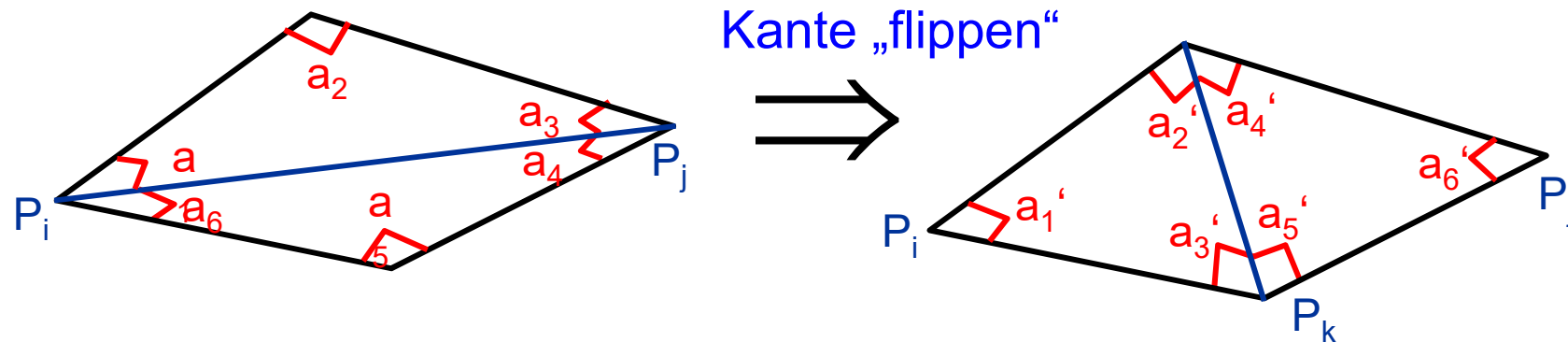
Betrachte die $3m$ Winkel der Dreiecke von $T(P)$, aufsteigend sortiert.

$A(T) = \{a_1, \dots, a_{3m}\}$ heißt *Winkelvektor* von T .

Triangulierungen können lexikographisch nach $A(T)$ sortiert werden.

Eine Triangulierung $T(P)$ heißt *winkeloptimal*, wenn $A(T(P)) \geq A(T'(P))$ für alle Triangulierungen T' von P .

Delaunay-Triangulierung



Illegale Kanten

Die Kante $p_i p_j$ ist illegal wenn

$$\min_{1 \leq i \leq 6} \alpha_i < \min_{1 \leq i \leq 6} \alpha'_i$$

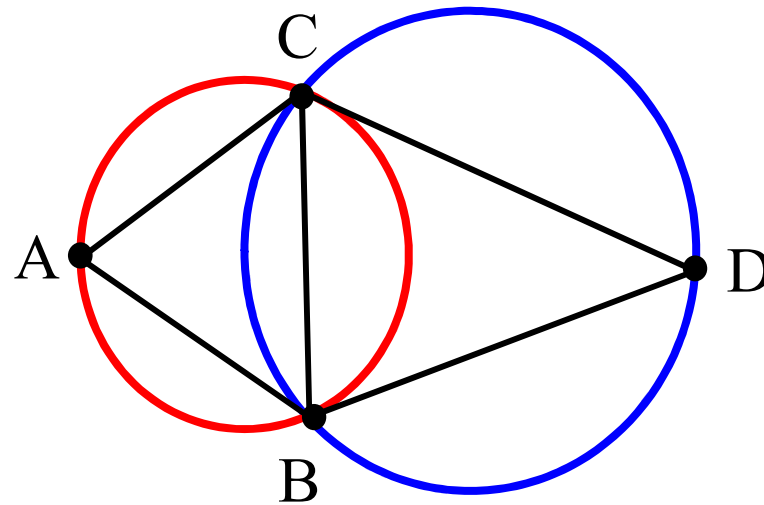
Anm: Sei T eine Triangulierung mit einer illegalen Kante e .

Sei T' die Triangulierung, die aus T durch „Flippen“ von e entsteht.

Dann ist $A(T') > A(T)$.

ABER: „Flippen“ erfordert rekursive Betrachtung von Nachbardreiecken!!!

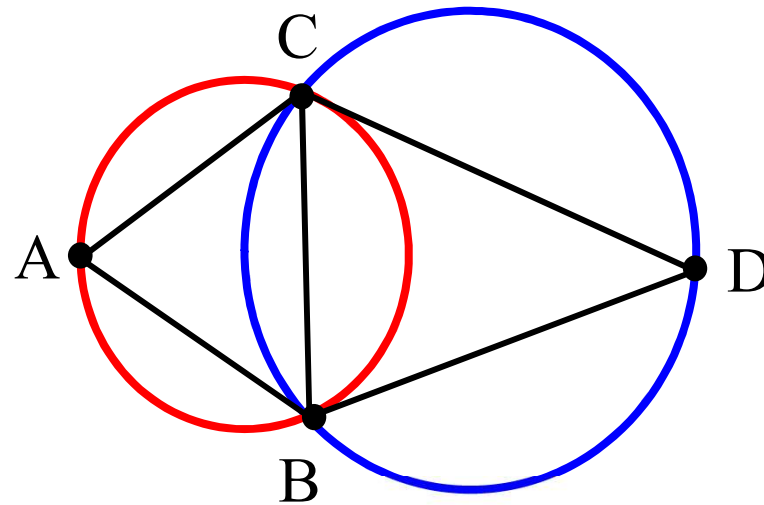
Delaunay-Triangulierung



Kreis-Kriterium:

Eine Triangulierung erfüllt das Kreis-Kriterium genau dann, wenn sich im Umkreis jedes Dreiecks der Triangulierung kein weiterer Punkt der zu triangulierenden Punktmenge befindet.

Delaunay-Triangulierung



Kreis-Kriterium:

Effizient abprüfbar :

A, B, C counterclockwise und D liegt im Umkreis von $ABC \Leftrightarrow$

$$\begin{vmatrix} A_x & A_y & A_x^2 + A_y^2 & 1 \\ B_x & B_y & B_x^2 + B_y^2 & 1 \\ C_x & C_y & C_x^2 + C_y^2 & 1 \\ D_x & D_y & D_x^2 + D_y^2 & 1 \end{vmatrix} = \begin{vmatrix} A_x - D_x & A_y - D_y & (A_x - D_x)^2 + (A_y - D_y)^2 \\ B_x - D_x & B_y - D_y & (B_x - D_x)^2 + (B_y - D_y)^2 \\ C_x - D_x & C_y - D_y & (C_x - D_x)^2 + (C_y - D_y)^2 \end{vmatrix} > 0$$

Delaunay-Triangulierung

Beweisskizze:

Einbettung in \mathbb{R}^3 : $\lambda: (x, y) \mapsto (x, y, x^2 + y^2)$

Punkte auf Kreis \rightarrow koplanar in \mathbb{R}^3

Punkt innerhalb des Kreises

\rightarrow „südlich“ der Ebene

Punkt ausserhalb des Kreises

\rightarrow „nördlich“

Determinante:

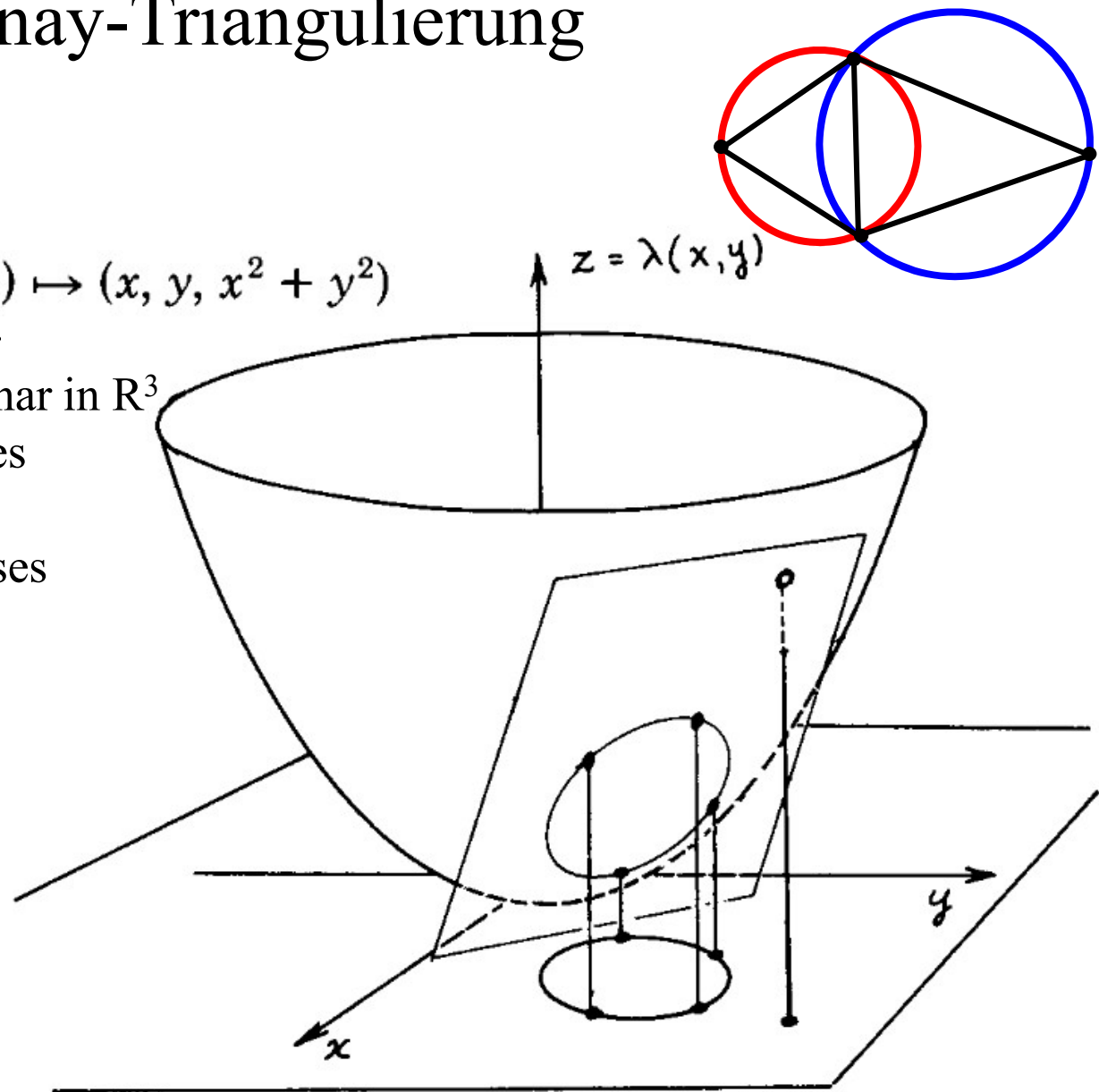
Volumen des Spats

ABC ccw:

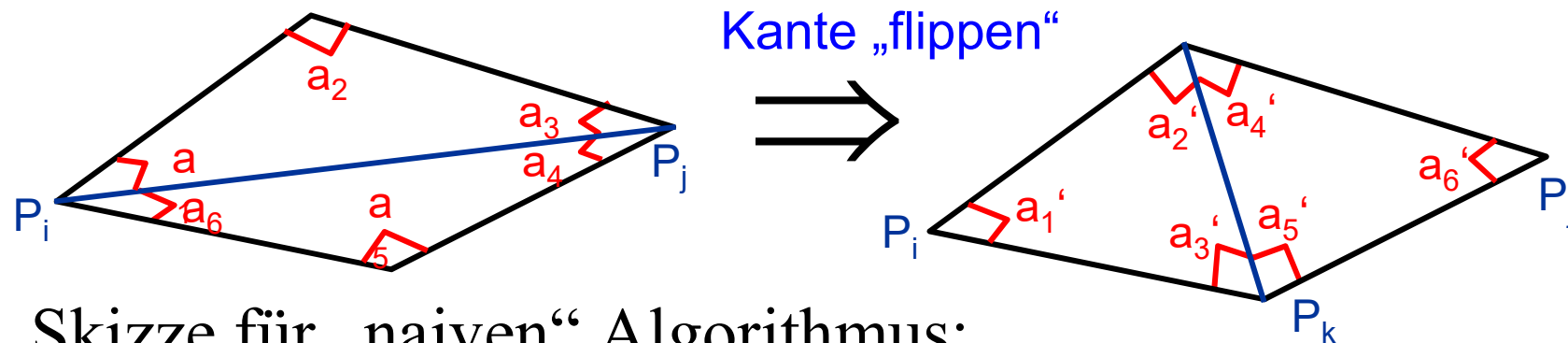
$\det > 0$

\rightarrow D „nördlich“

\rightarrow D innerhalb



Delaunay-Triangulierung



Skizze für „naiven“ Algorithmus:

- initiale Triangulierung erstellen
- Alle Kanten betrachten, ob sie geflippt werden müssen (Kreis-Kriterium)
- Falls ja: vom Flip-Viereck aus alle Kanten auf Flippen testen (im schlimmsten Fall: alle)

Komplexität: $O(n^2)$

Delaunay-Triangulierung

Inkrementeller Algorithmus

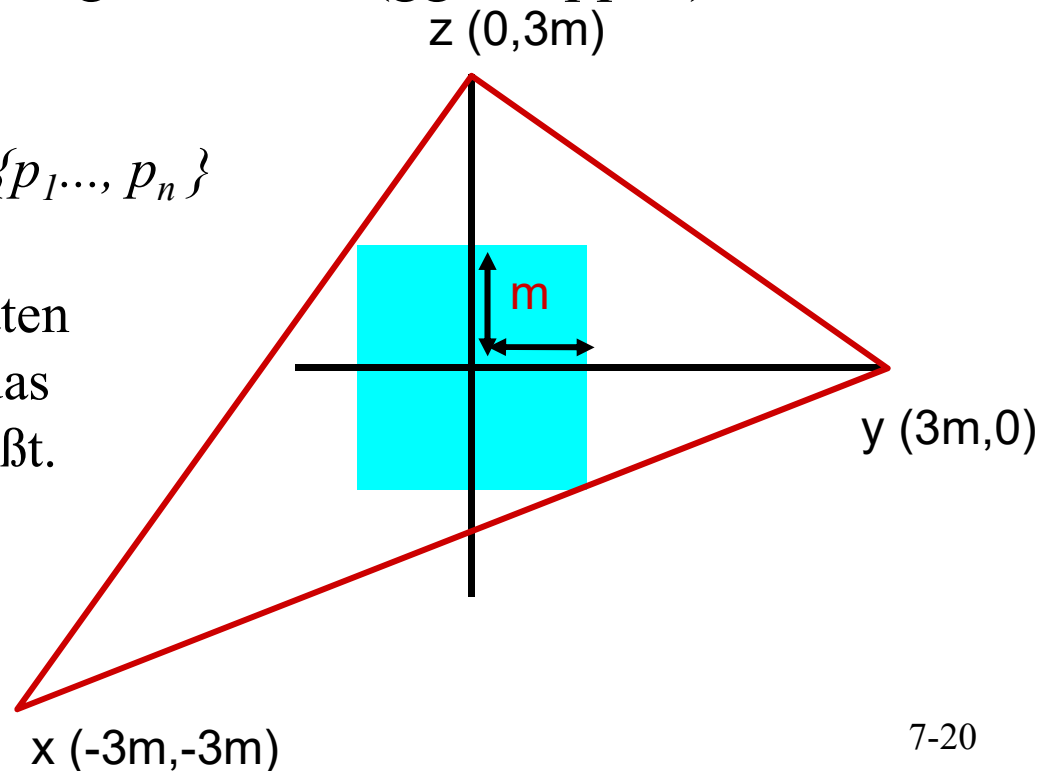
Idee:

- Mit umfassendem Dreieck beginnen
- Punkt für Punkt einfügen
- neu entstehende Kanten „legalisieren“ (ggf. flippen)

Gegeben: Punktmenge $P = \{p_1, \dots, p_n\}$

m : Maximum aller Koordinaten

Berechne Dreieck (x, y, z) , das die Punkte p_1, \dots, p_n umschließt.

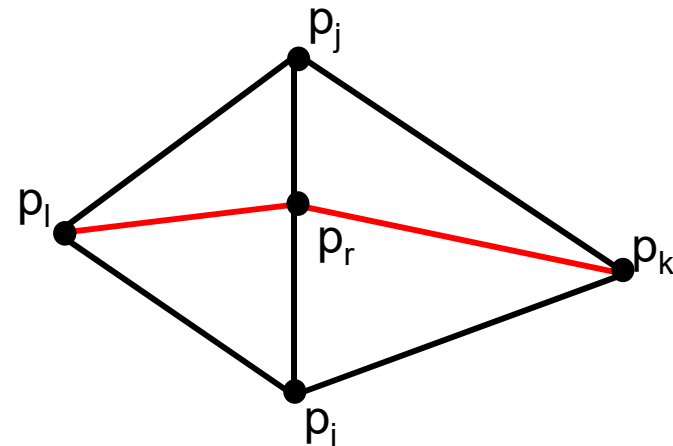
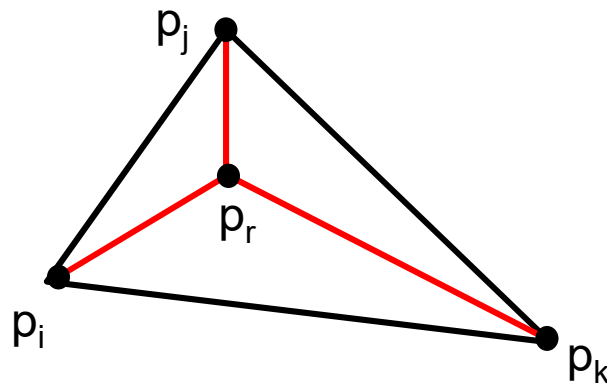


Delaunay-Triangulierung

Inkrementeller Algorithmus

Punkt einfügen:

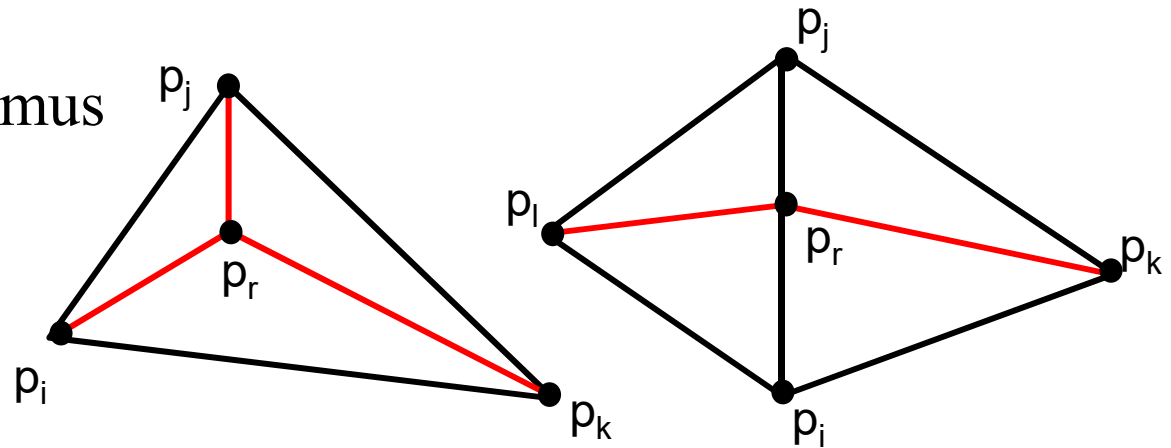
2 Fälle: p_r liegt innerhalb eines Dreiecks
 p_r liegt auf einer Kante



Delaunay-Triangulierung

Inkrementeller Algorithmus

“Legalisieren”



Legalize $(p_r, \overline{p_i p_j}, T)$:

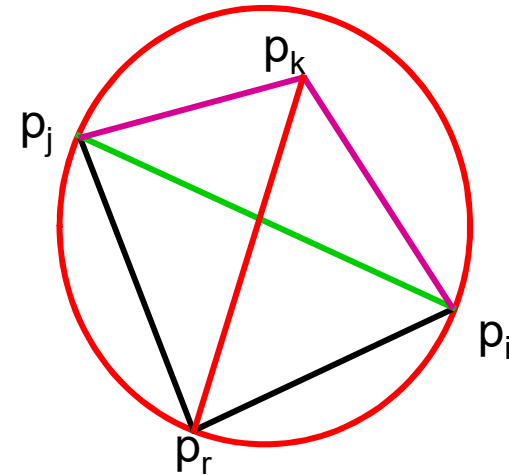
if $\overline{p_i p_j}$ is illegal

then let $p_i p_j p_k$ be the triangle adjacent
to $p_r p_i p_j$ along $\overline{p_i p_j}$.

flip $\overline{p_i p_j}$, i.e. replace $\overline{p_i p_j}$ by $\overline{p_r p_k}$

Legalize $(p_r, \overline{p_i p_k}, T)$

Legalize $(p_r, \overline{p_k p_j}, T)$

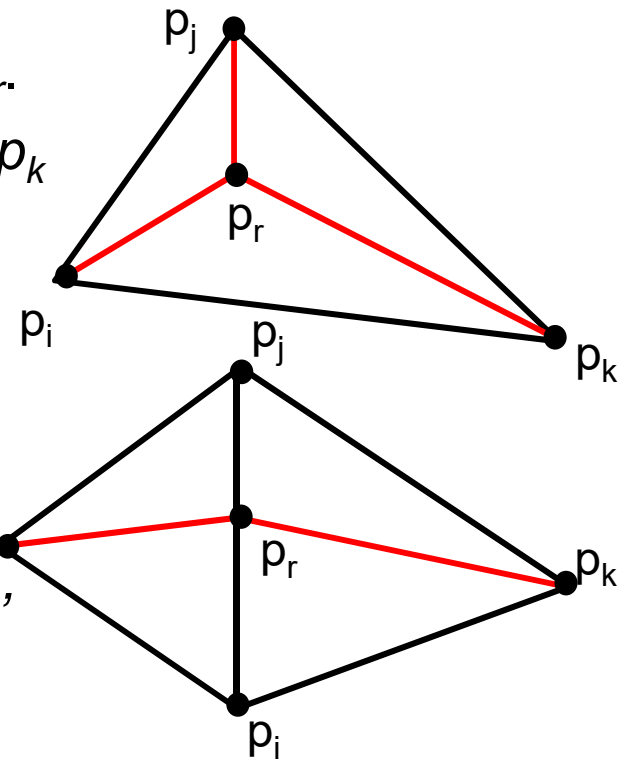


Delaunay-Triangulierung

Inkrementeller Algorithmus

In: Punktmenge $P = \{p_1, \dots, p_n\}$, **Out:** $DT(P)$ von P

1. $DT(P) = T = (x, y, z)$
2. for $r = 1$ to n do
3. find a triangle $p_i p_j p_k \in T$, that contains p_r .
4. if p_r lies in the interior of the triangle $p_i p_j p_k$
5. then split $p_i p_j p_k$
6. Legalize($p_r, \overline{p_i p_j}$), Legalize($p_r, \overline{p_i p_k}$),
 Legalize($p_r, \overline{p_j p_k}$)
7. if p_r lies on an edge of $p_i p_j p_k$ (say $\overline{p_i p_j}$)
8. then split $p_i p_j p_k$ and $p_i p_j p_l$
 Legalize ($p_r, \overline{p_i p_l}$), Legalize ($p_r, \overline{p_i p_k}$),
 Legalize ($p_r, \overline{p_j p_l}$), Legalize ($p_r, \overline{p_j p_k}$)
9. Delete (x, y, z) with all incident edges to P



Delaunay-Triangulierung

Alternative: Einbettung in \mathbb{R}^{n+1}

Zusammenhang mit konvexer Hülle

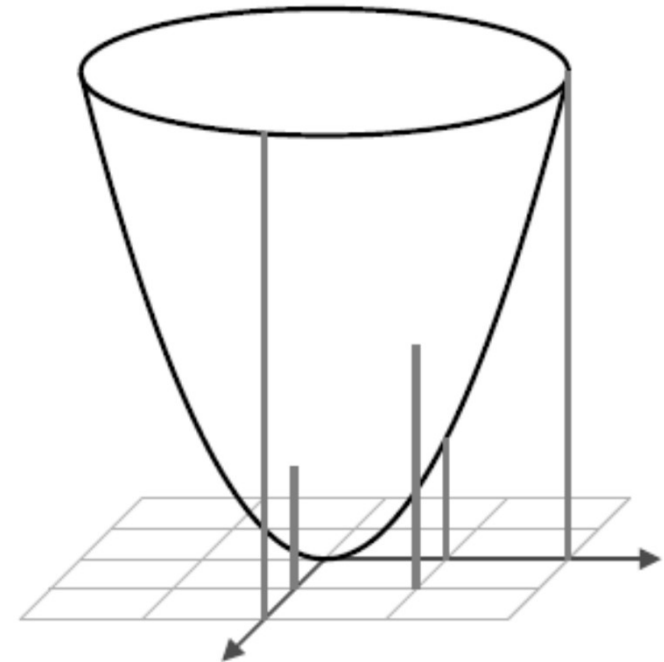
Idee:

Punkte (x_1, \dots, x_n) auf Paraboloid projizieren

$$f: (x_1, \dots, x_n) \rightarrow (x_1, \dots, x_n, \sum x_i^2)$$

Konvexe Hülle in \mathbb{R}^{n+1} bilden (!!!)

Nach unten zeigende Facetten der konvexen Hülle nach \mathbb{R}^n
rückprojizieren



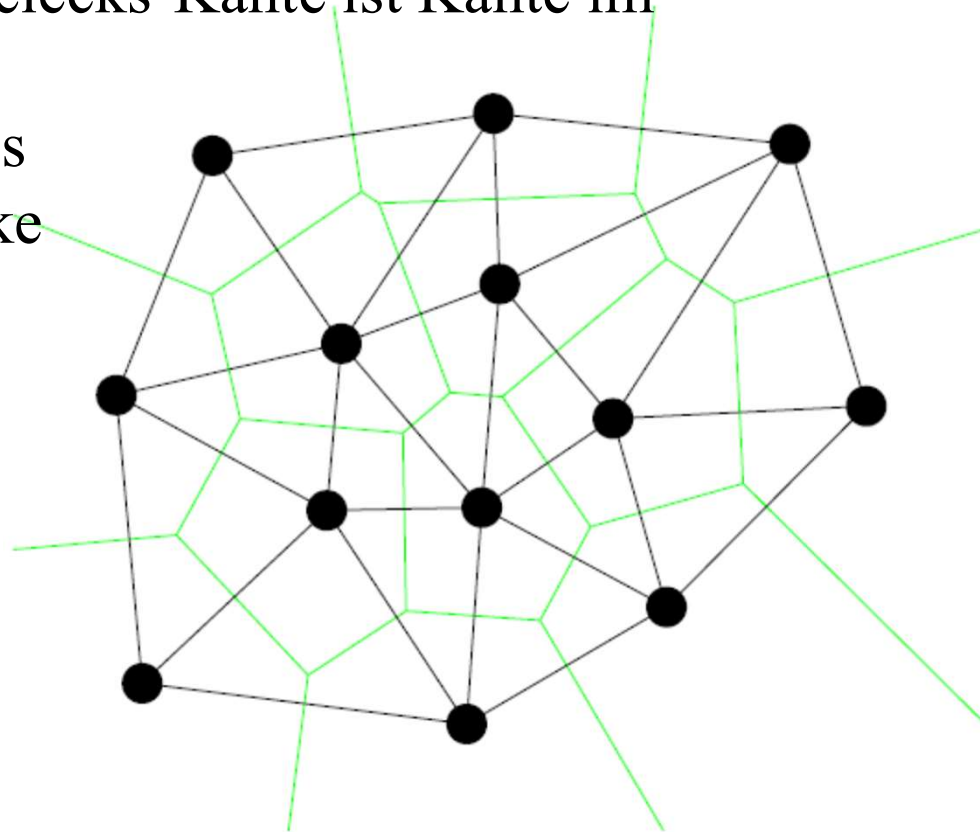
s. auch <http://www.pi6.fernuni-hagen.de/GeomLab/VoroGlide/>

Voronoi-Diagramm

Zusammenhang mit Delaunay-Triangulierung

Voronoi-Diagramm ist dualer Graph

- Mittelsenkrechte einer Dreiecks-Kante ist Kante im Voronoi-Diagramm
- Umkreis-Mittelpunkt eines Delaunay-Dreiecks ist Ecke im Voronoi-Diagramm



Voronoi-Diagramm

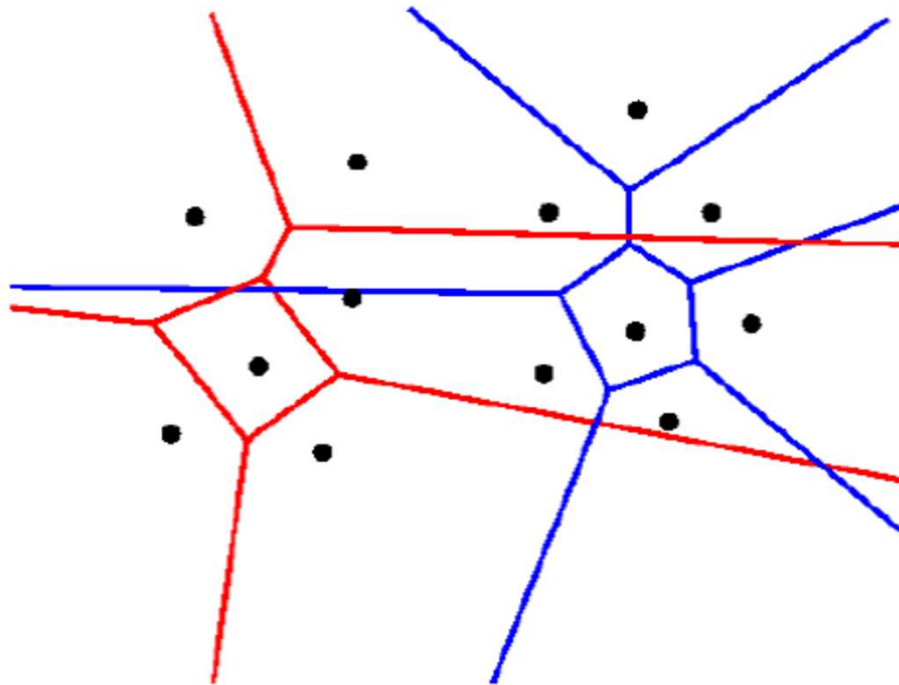
Algorithmen zur Berechnung des Voronoi-Diagramms

- Line-Sweep-Algorithmus
- Divide-and-Conquer-Algorithmus

Voronoi-Diagramm

Divide-and-Conquer-Algorithmus

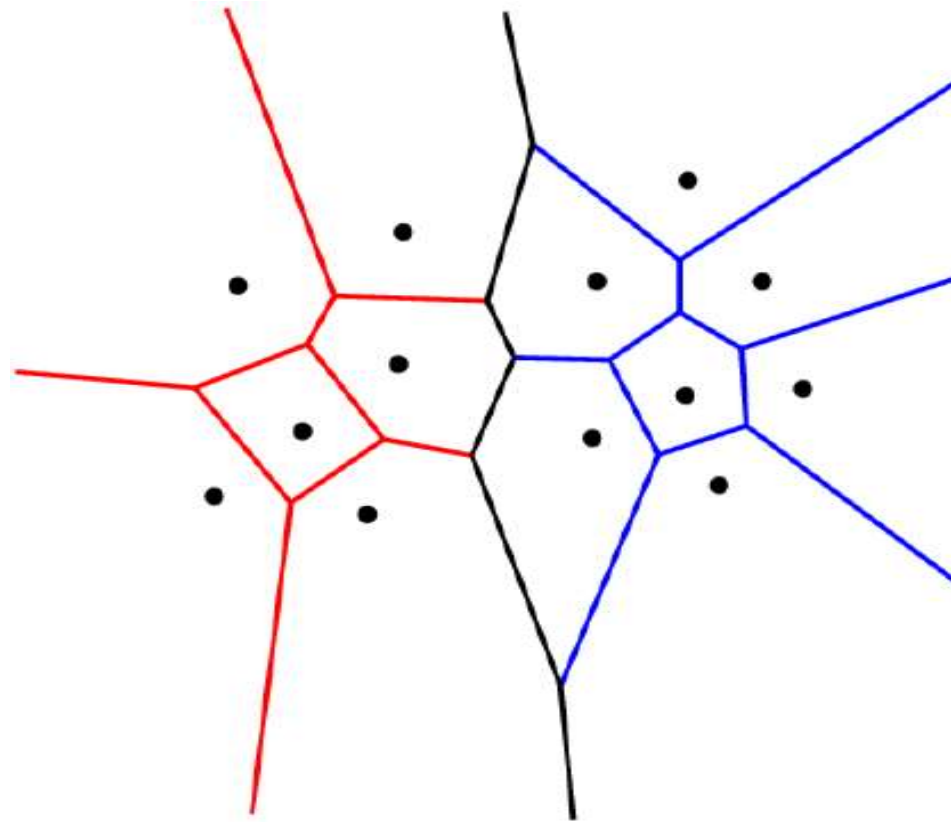
- Partitionierung der Punktmenge entlang Trenngerade
- Rekursive Erzeugung primitiver Voronoi-Diagramme



Voronoi-Diagramm

Divide-and-Conquer-Algorithmus

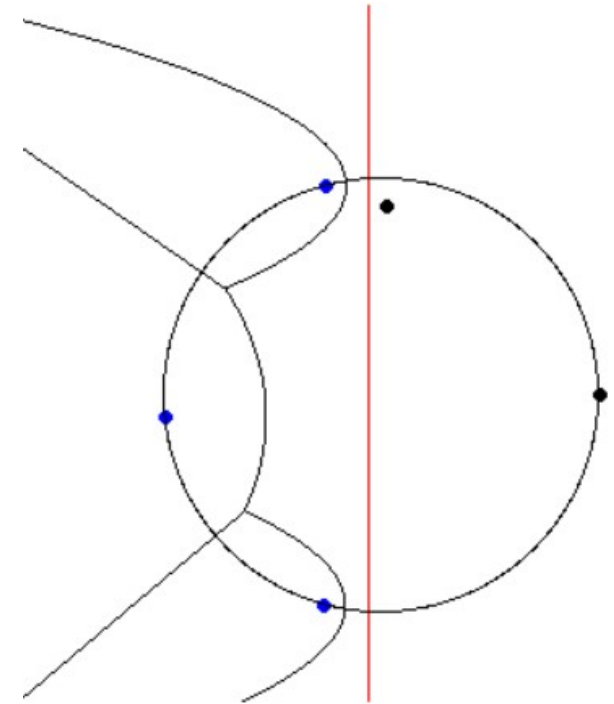
- Verschmelzen je zweier Voronoi-Diagramme



Voronoi-Diagramm

Fortune's Algorithmus (S. Fortune, 1986)

Line-Sweep-Algorithmus



„Beach Line“: Sequenz von Parabelsegmenten

- Parabel: Voronoi-Diagramm zwischen Punkt und Linie
- Schnitte der Parabeln „zeichnen“ Voronoi-Diagramm
- Events:
 - „Circle Event“: Umkreis dreier Punkte wird „gültig“
 - „Site Event“: Neuer Punkt führt neues Parabelsegment ein
- Komplexität: $O(n \log(n))$

<https://www.desmos.com/calculator/ejatebvup4>

<https://www.algovision.org/Algovision/pool.html>

<https://jacquesheunis.com/post/fortunes-algorithm>

<https://blog.ivank.net/fortunes-algorithm-and-implementation.html>